

Urotelio y parasitación vesical. Estudio morfológico de la carcinogénesis por *Schistosoma haematobium*

J. Ricardo Álvarez-Vijande García

ADVERTIMENT. La consulta d'aquesta tesi queda condicionada a l'acceptació de les següents condicions d'ús: La difusió d'aquesta tesi per mitjà del servei TDX (www.tesisenxarxa.net) ha estat autoritzada pels titulars dels drets de propietat intel·lectual únicament per a usos privats emmarcats en activitats d'investigació i docència. No s'autoritza la seva reproducció amb finalitats de lucre ni la seva difusió i posada a disposició des d'un lloc aliè al servei TDX. No s'autoritza la presentació del seu contingut en una finestra o marc aliè a TDX (framing). Aquesta reserva de drets afecta tant al resum de presentació de la tesi com als seus continguts. En la utilització o cita de parts de la tesi és obligat indicar el nom de la persona autora.

ADVERTENCIA. La consulta de esta tesis queda condicionada a la aceptación de las siguientes condiciones de uso: La difusión de esta tesis por medio del servicio TDR (www.tesisenred.net) ha sido autorizada por los titulares de los derechos de propiedad intelectual únicamente para usos privados enmarcados en actividades de investigación y docencia. No se autoriza su reproducción con finalidades de lucro ni su difusión y puesta a disposición desde un sitio ajeno al servicio TDR. No se autoriza la presentación de su contenido en una ventana o marco ajeno a TDR (framing). Esta reserva de derechos afecta tanto al resumen de presentación de la tesis como a sus contenidos. En la utilización o cita de partes de la tesis es obligado indicar el nombre de la persona autora.

WARNING. On having consulted this thesis you're accepting the following use conditions: Spreading this thesis by the TDX (www.tesisenxarxa.net) service has been authorized by the titular of the intellectual property rights only for private uses placed in investigation and teaching activities. Reproduction with lucrative aims is not authorized neither its spreading and availability from a site foreign to the TDX service. Introducing its content in a window or frame foreign to the TDX service is not authorized (framing). This rights affect to the presentation summary of the thesis as well as to its contents. In the using or citation of parts of the thesis it's obliged to indicate the name of the author.

UNIVERSIDAD DE BARCELONA
FACULTAD DE MEDICINA

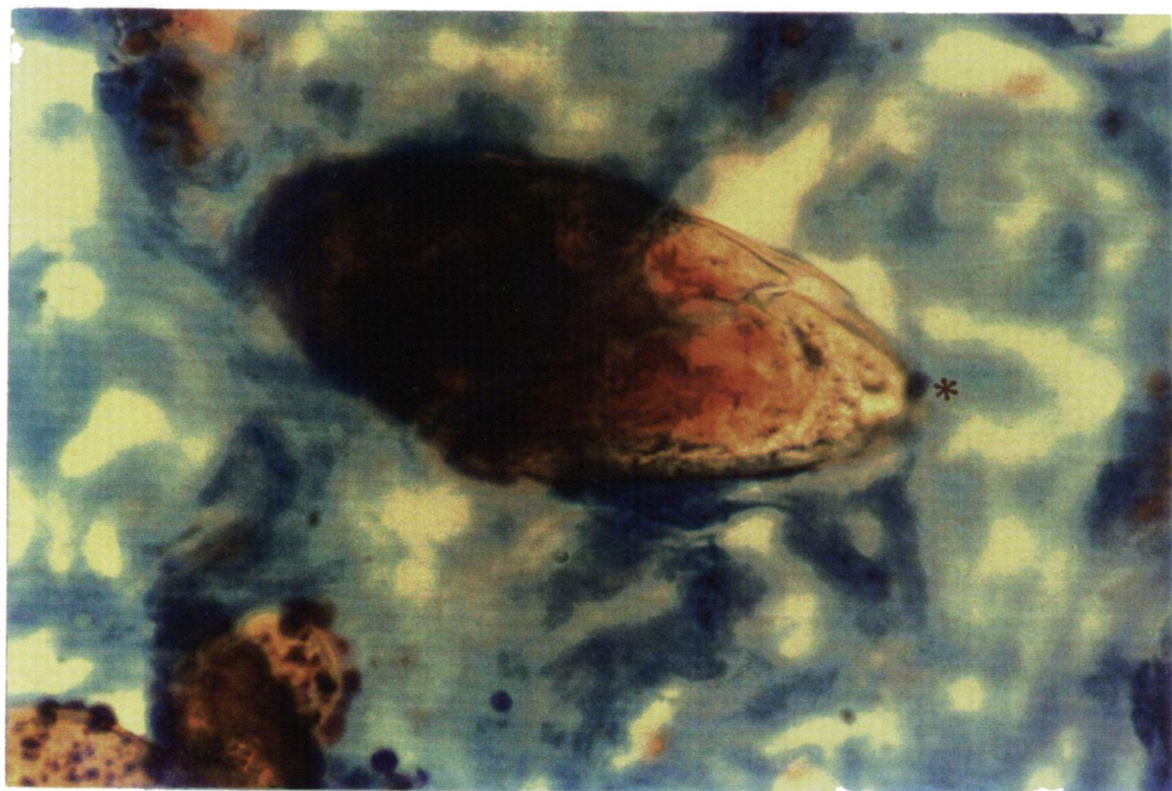
UROTELIO Y PARASITACION VESICAL:
ESTUDIO MORFOLOGICO DE LA CARCINOGENESIS POR
SCHISTOSOMA HAEMATOBIIUM

José Ricardo Alvarez-Vijande Garcia

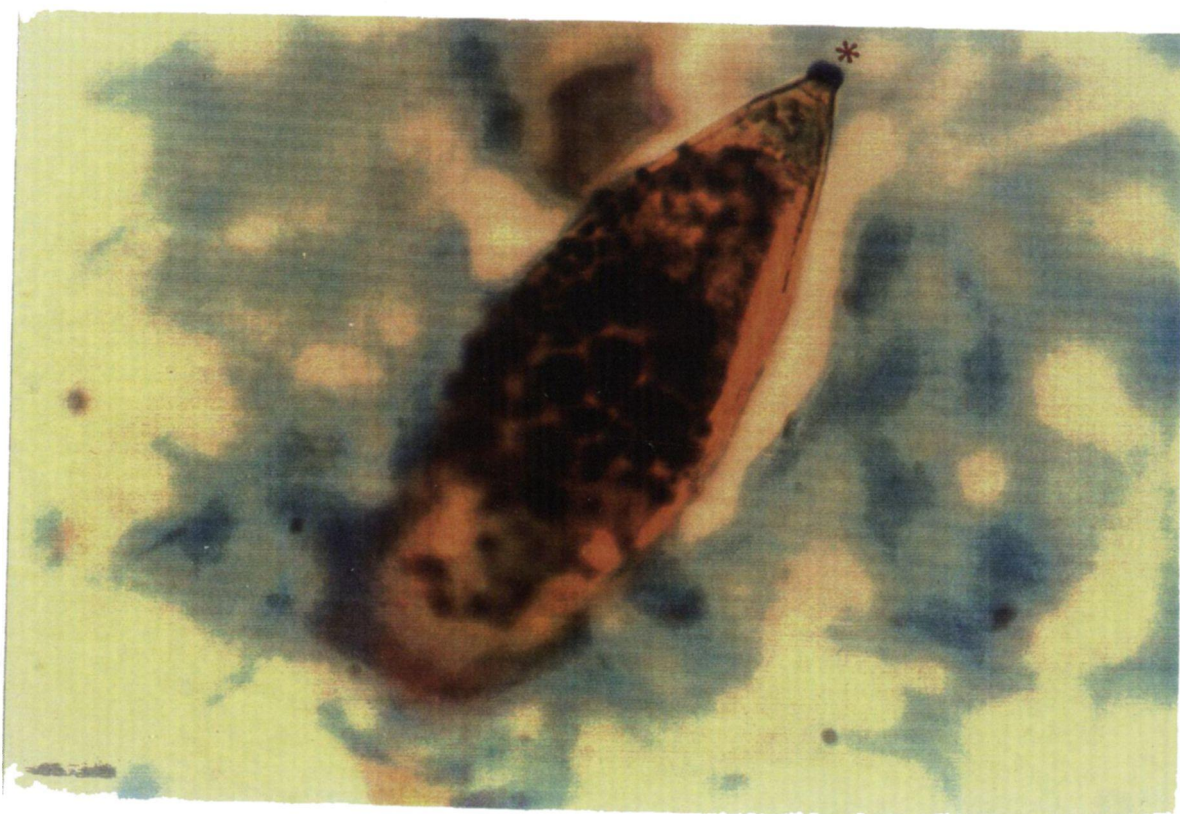
Tesis presentada para aspirar al grado
de DOCTOR en Medicina y Cirugía.

Barcelona
1989

Fig. 70. Huevos de *Schistosoma haematobium* en los que se señala en su porción apical una zona semejante a un opérculo (*), al haber perdido su espolón terminal.



A



B

Fig. 71. Aspecto general de un corte histopatológico de parafina, visto por microscopía electrónica de superficie.

A/ (1) Mucosa. (2) Corion. (3) Capa muscular con abundantes huevos parásitos.

B/ Detalle a gran aumento de una zona de la mucosa. (1) Lumen. (2) Epitelio. (3) Muscular. Las flechas señalan los trayectos vasculares.

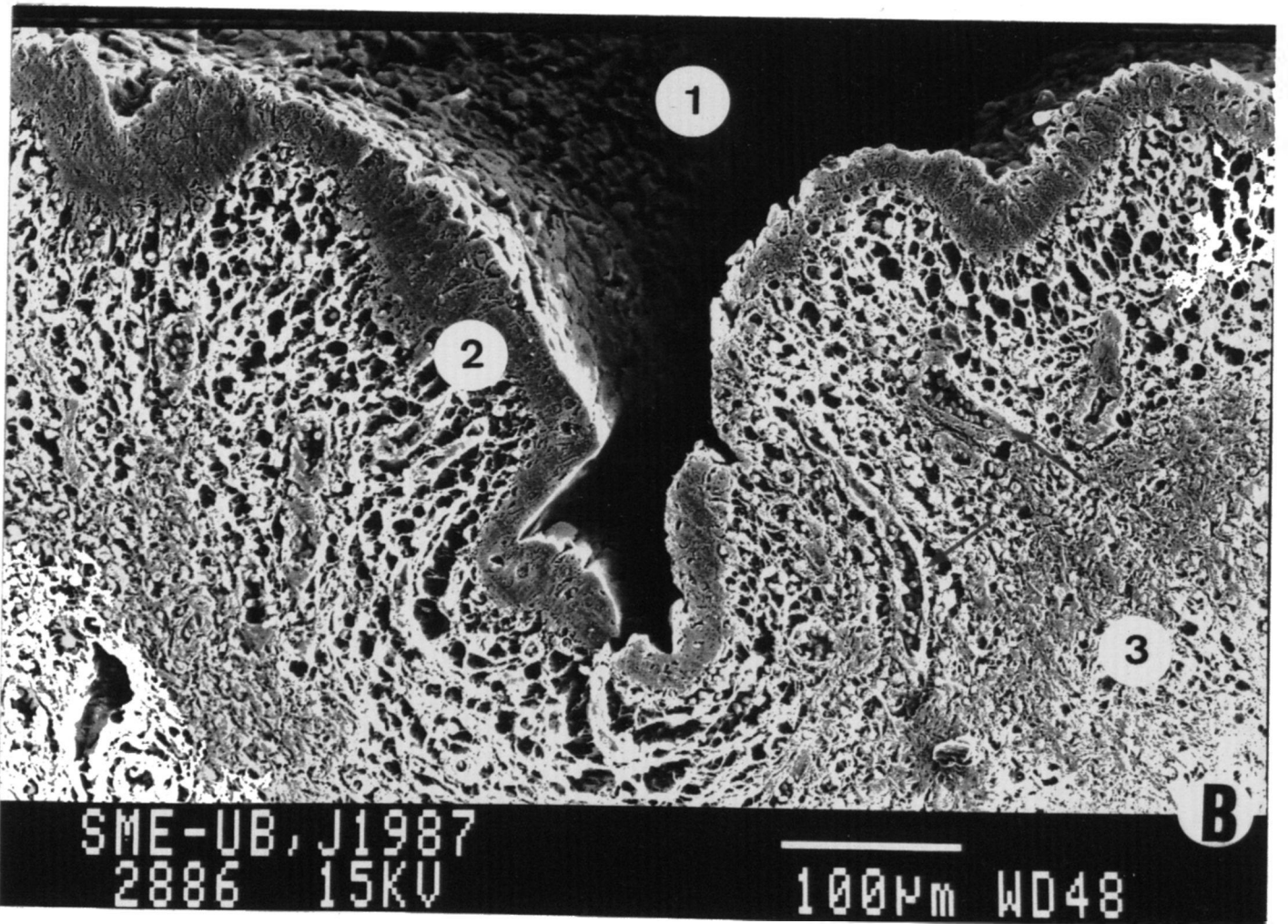
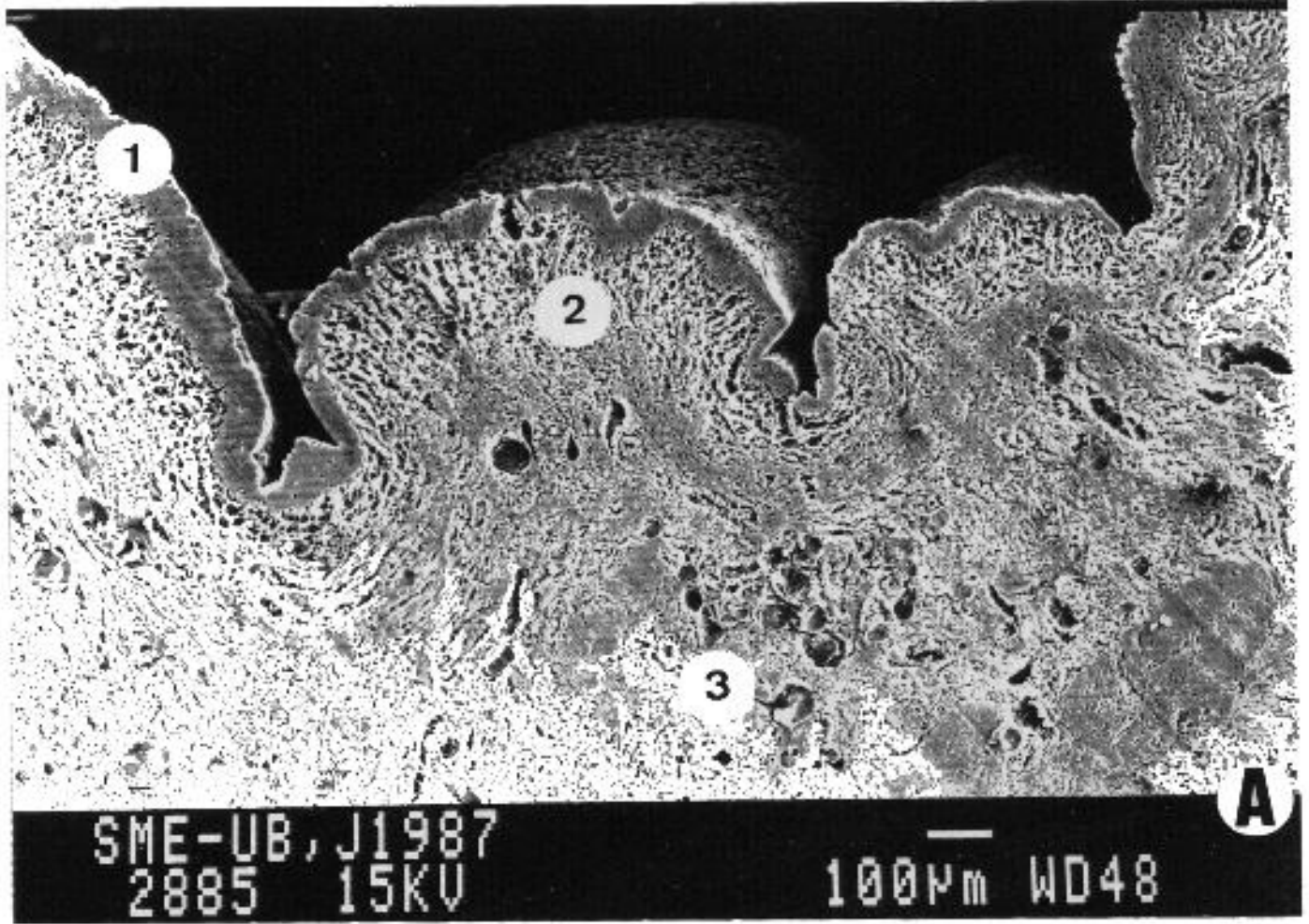
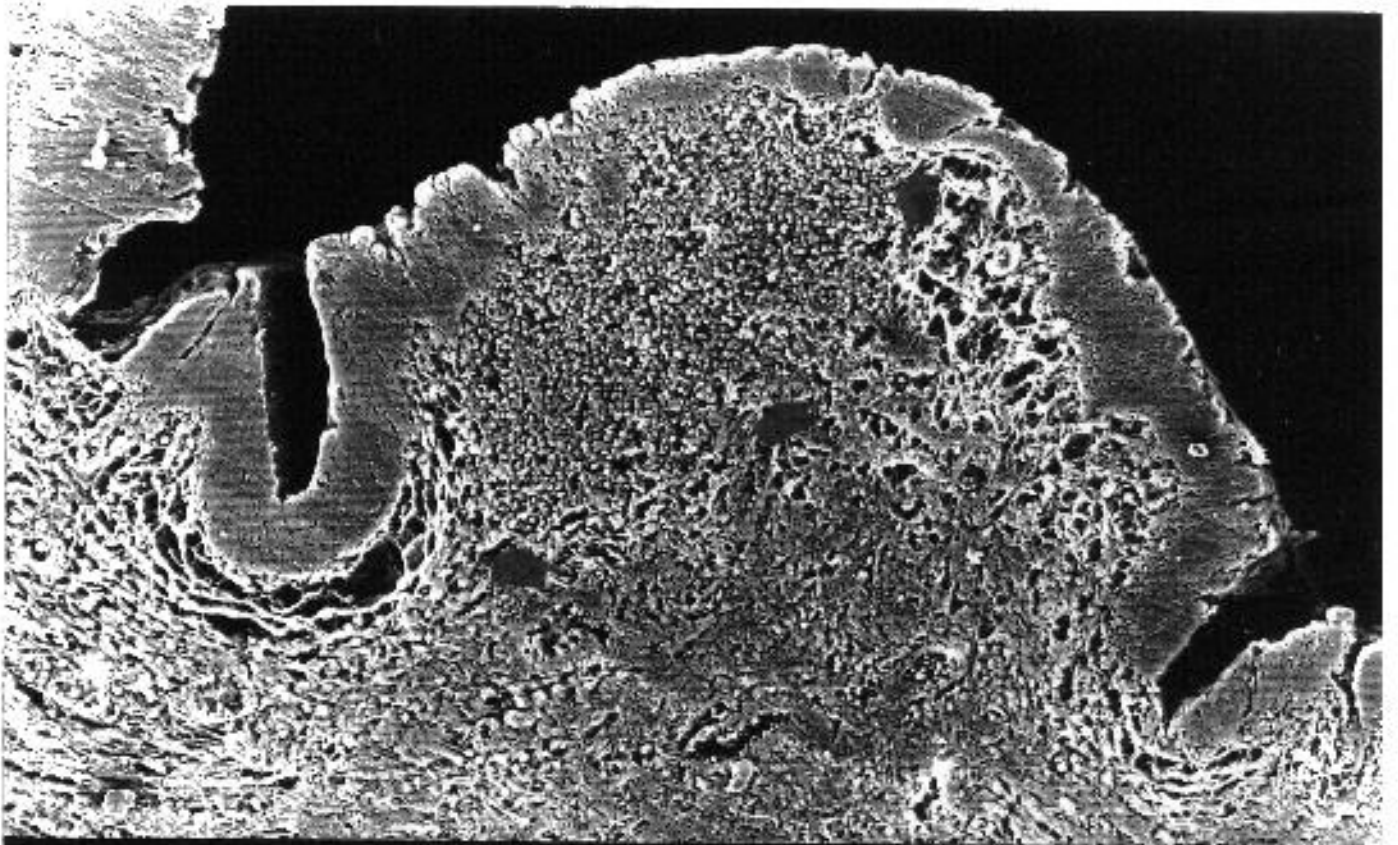


Fig.72. Características de una cistitis folicular. Las flechas señalan el entorno de un infiltrado folicular linfoideo.



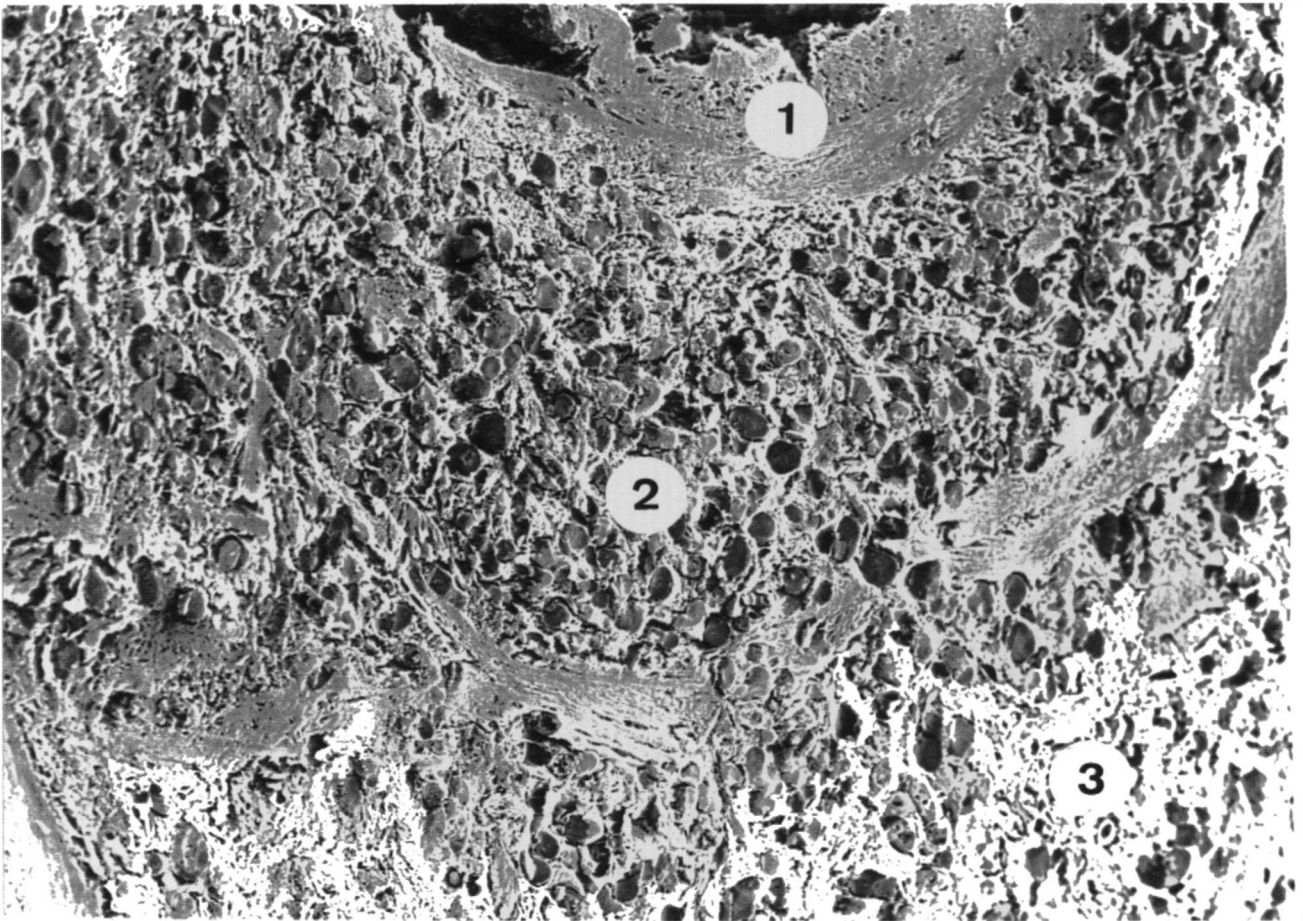
SME-UB, J1987
2894 15KV

100µm WD14

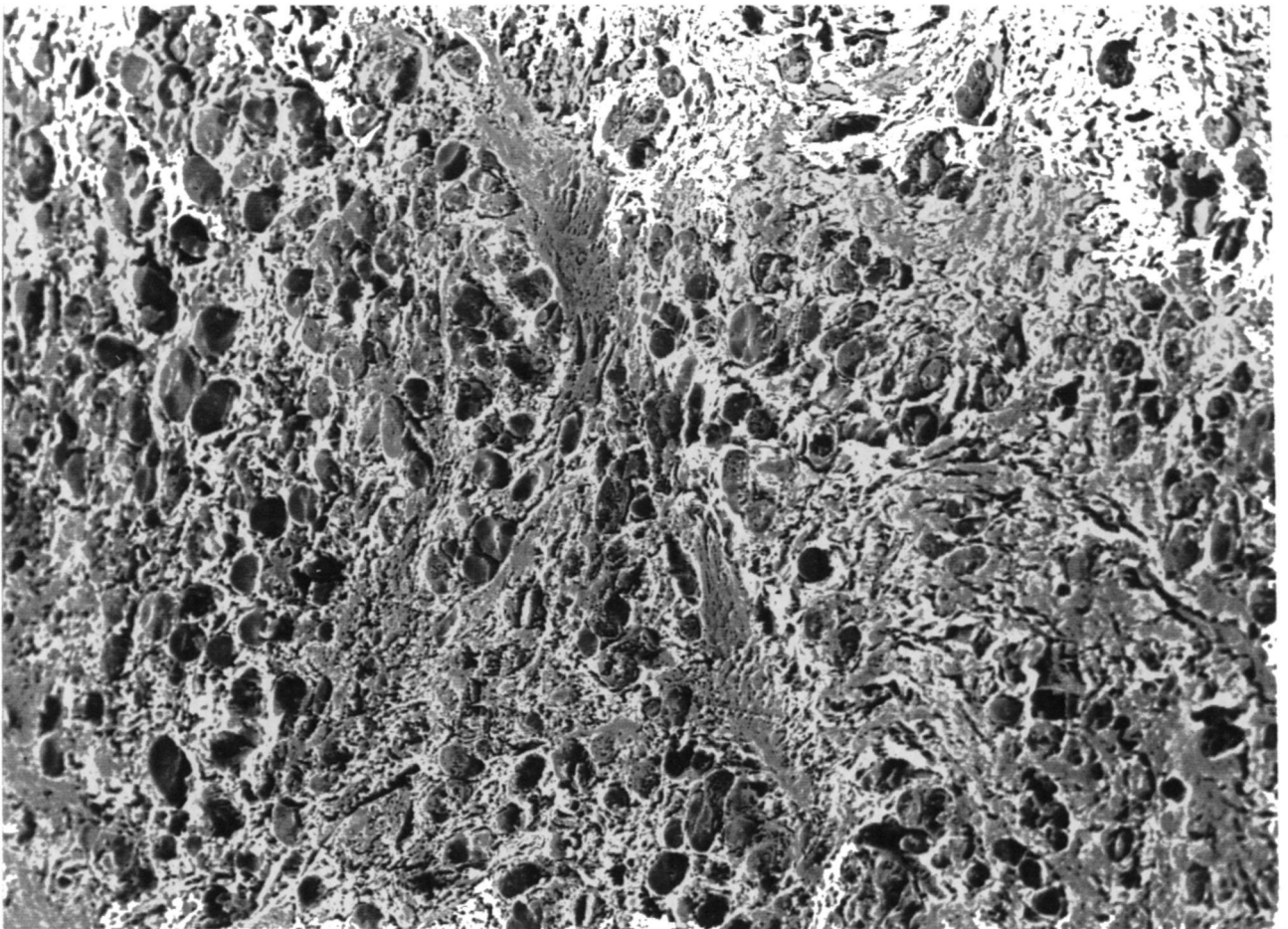
Fig. 73. Gran infiltración de huevos del parásito en el espesor de las capas de la vejiga.

A/ (1) Límite corioepitelial. (2) Huevos calcificados. (3) Capa muscular profunda.

B/ Disposición central de haces de fibras musculares rodeadas de huevos.



A

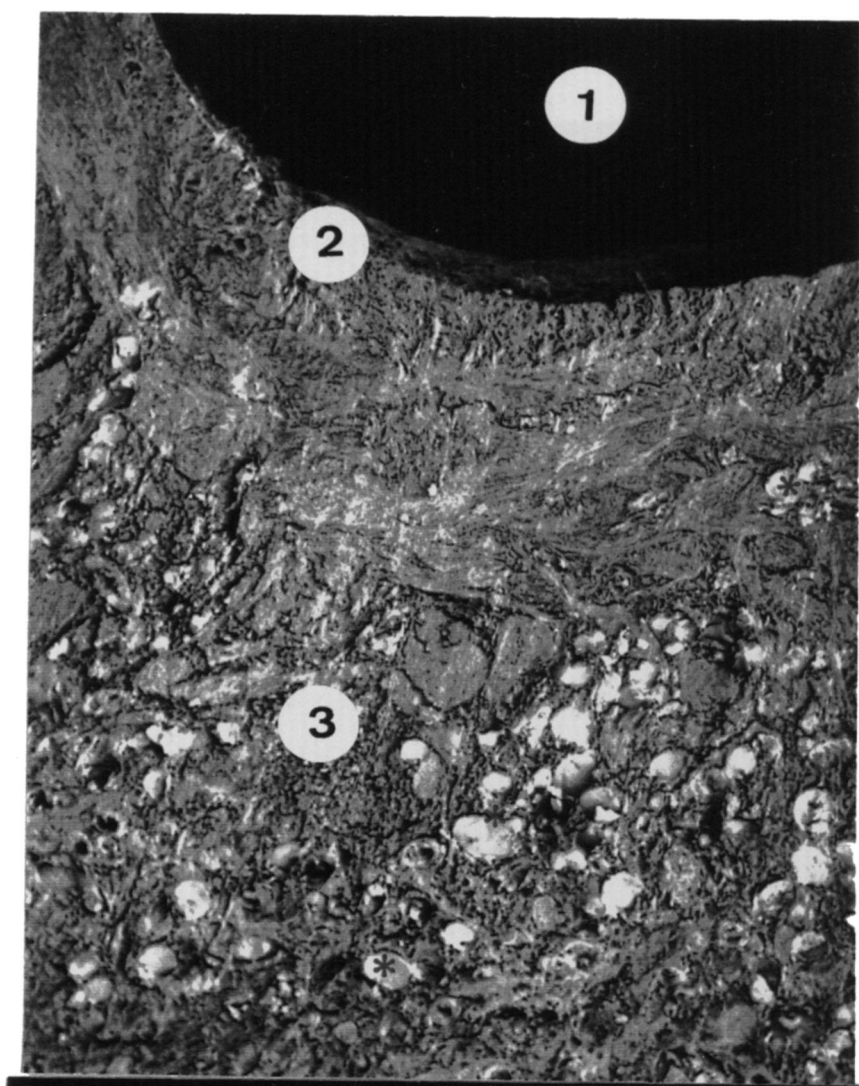


B

Fig. 74. Visión topográfica de una biopsia vesical con gran infestación.

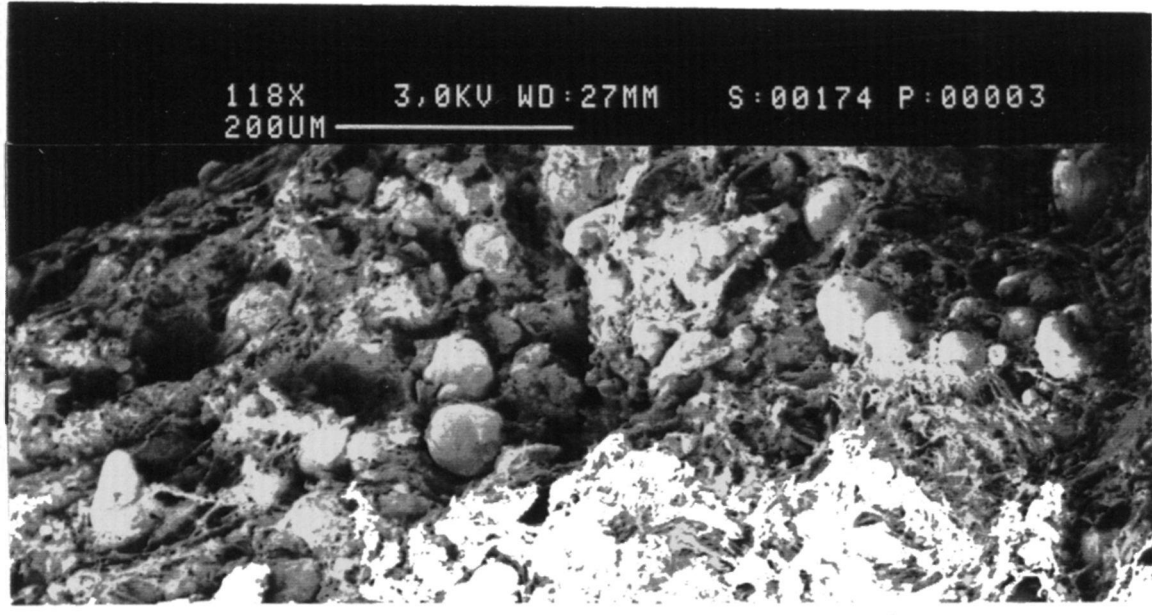
A/ (1) Lumen. (2) Mucosa. (3) Muscular. Con (*) se muestran los huevos de S.h..

B/ Detalle de la figura anterior.



64.6X 3.0KV WD:17MM S:00174 P:00001
500UM

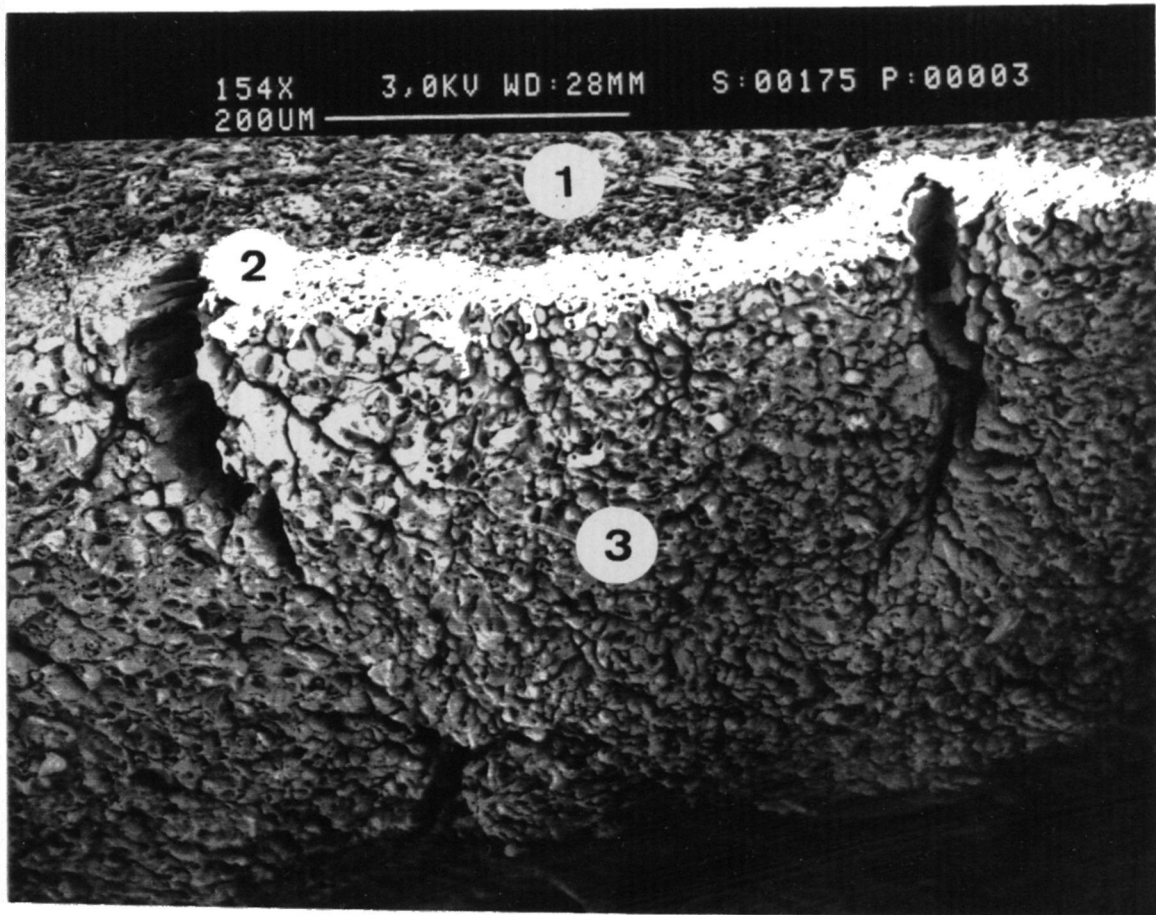
A



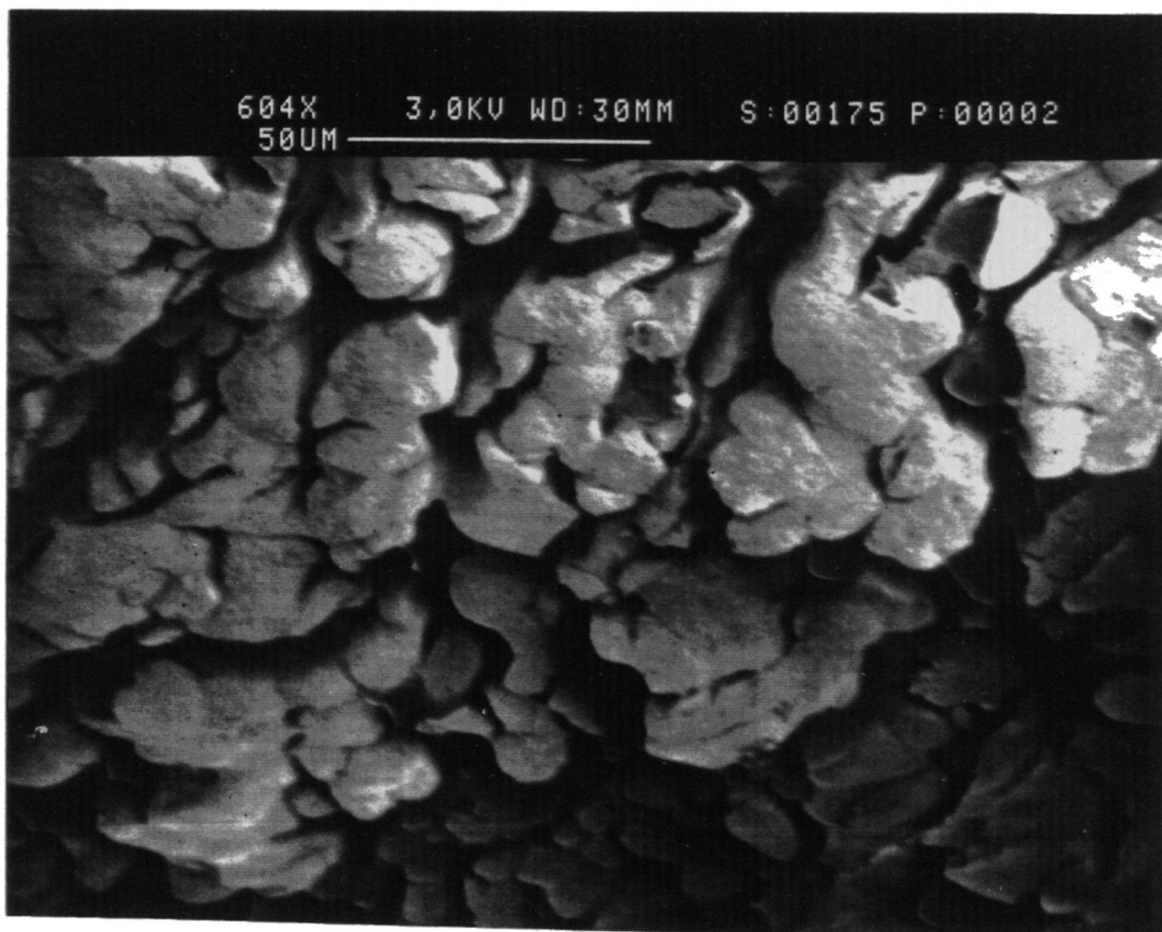
118X 3.0KV WD:27MM S:00174 P:00003
200UM

B

Fig. 75. Aspecto que muestra la superficie de la mucosa de una vejiga infestada por *Schistosoma haematobium*. El crecimiento exofítico de la mucosa muestra un gran pleomorfismo de la celularidad compatible con alteraciones neoplásicas.



A

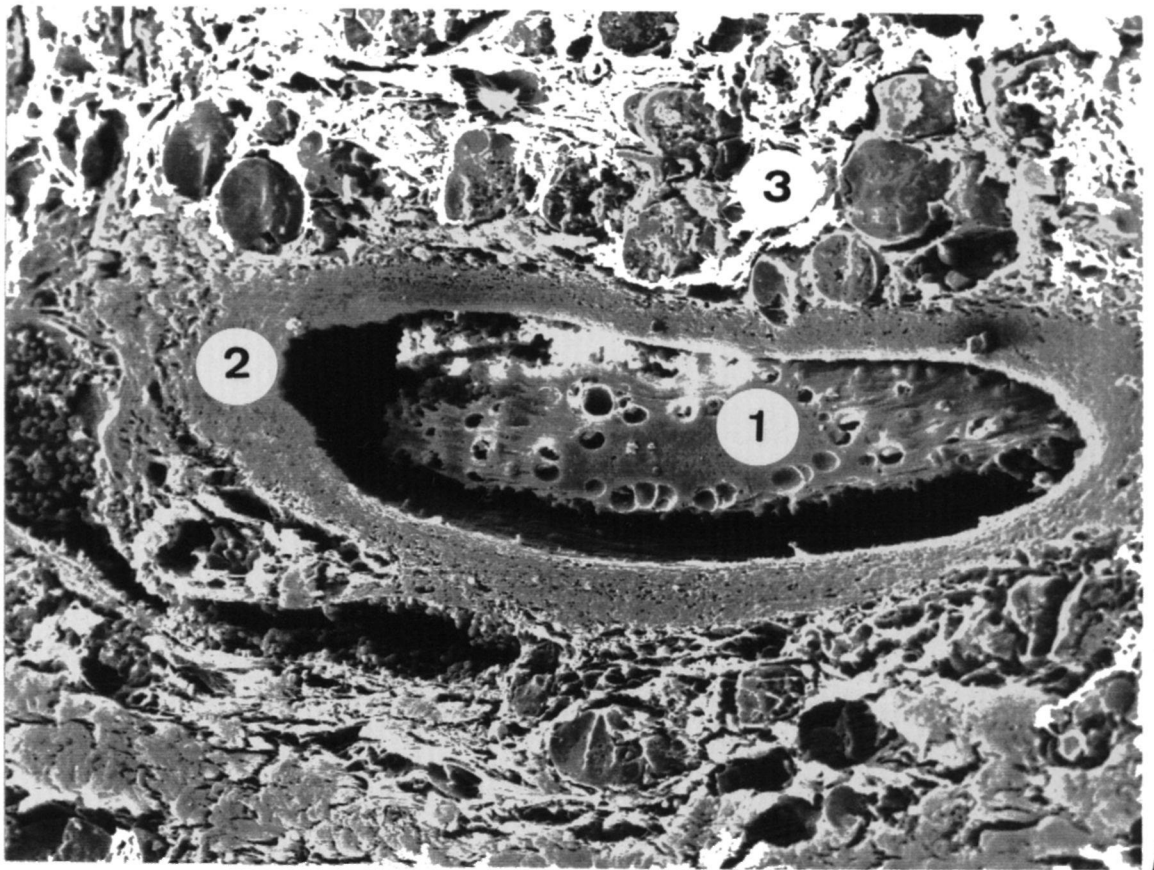


B

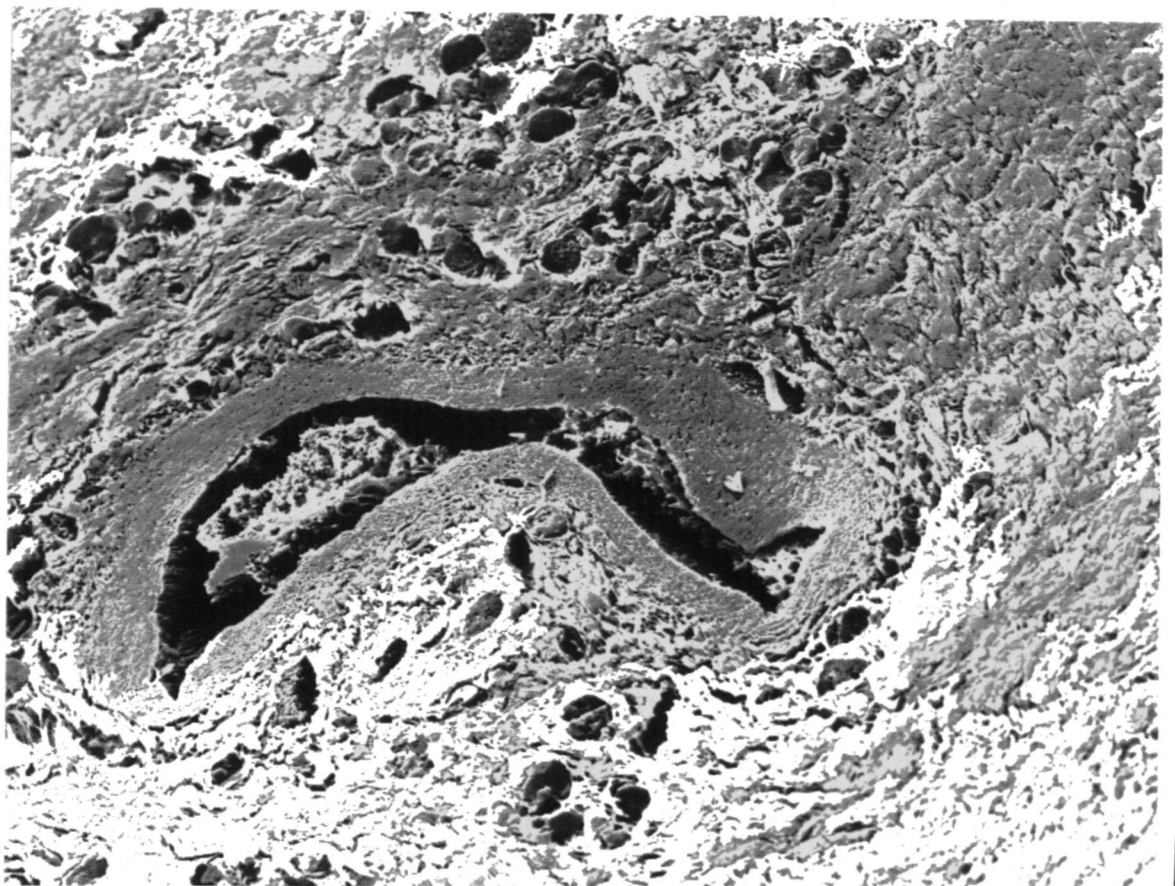
Fig. 76. Características de los vasos del corion en secciones de vejiga urinaria de un paciente afecto de Esquistosomiasis.

A/ (1) Contenido intravascular de material fibrinoide con improntas redondeadas. (2) Pared vascular. (3) Huevos calcificados.

B/ Hipertrofia de la pared vascular. Huevos de S.h. calcificados.



A

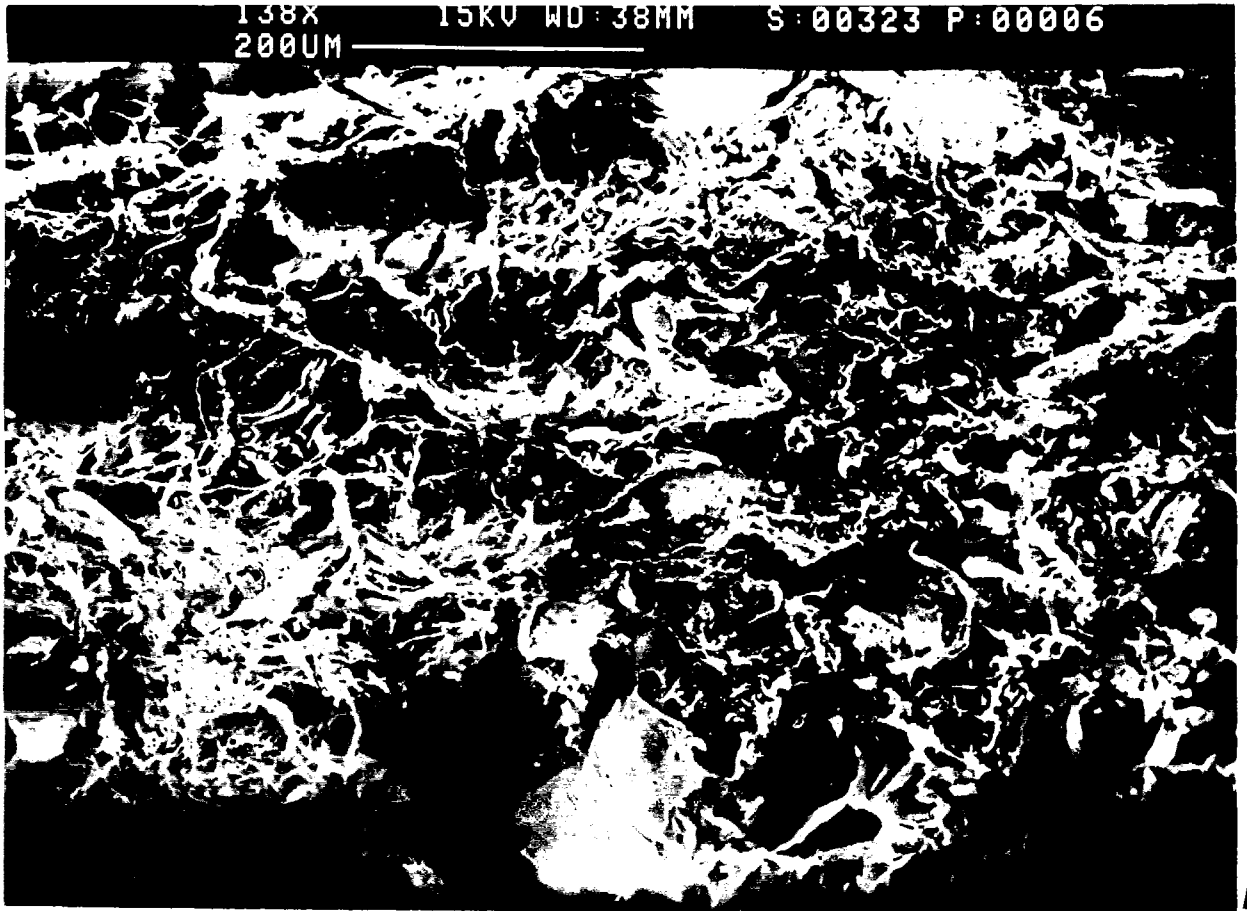


B

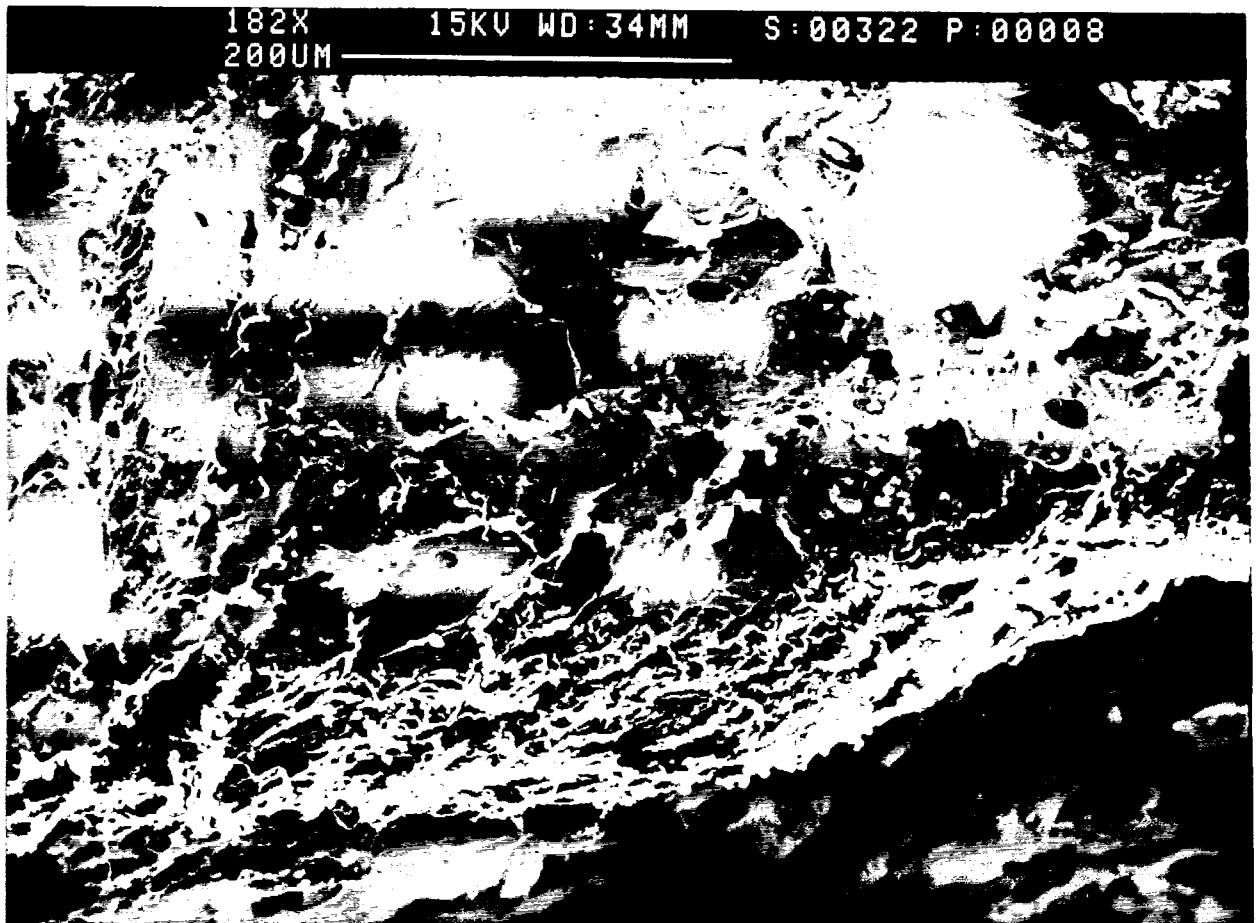
Fig. 77. Características de la superficie epitelial de un carcinoma escamoso de vejiga debido a una infestación por *Schistosoma haematobium*.

A/ Se observa una gran afectación del tejido conjuntivo en la parte superior izquierda de la microfotografía.

B/ Aspecto típico de las células de descamación corneal.



A



B

Fig. 78. Carcinoma escamoso bien diferenciado. Aspecto al SEM.

A/ (1) Eje conectivo-vascular. (2) Acúmulos de células escamosas.

B/ Amplia zona de diferenciación neoplásica.

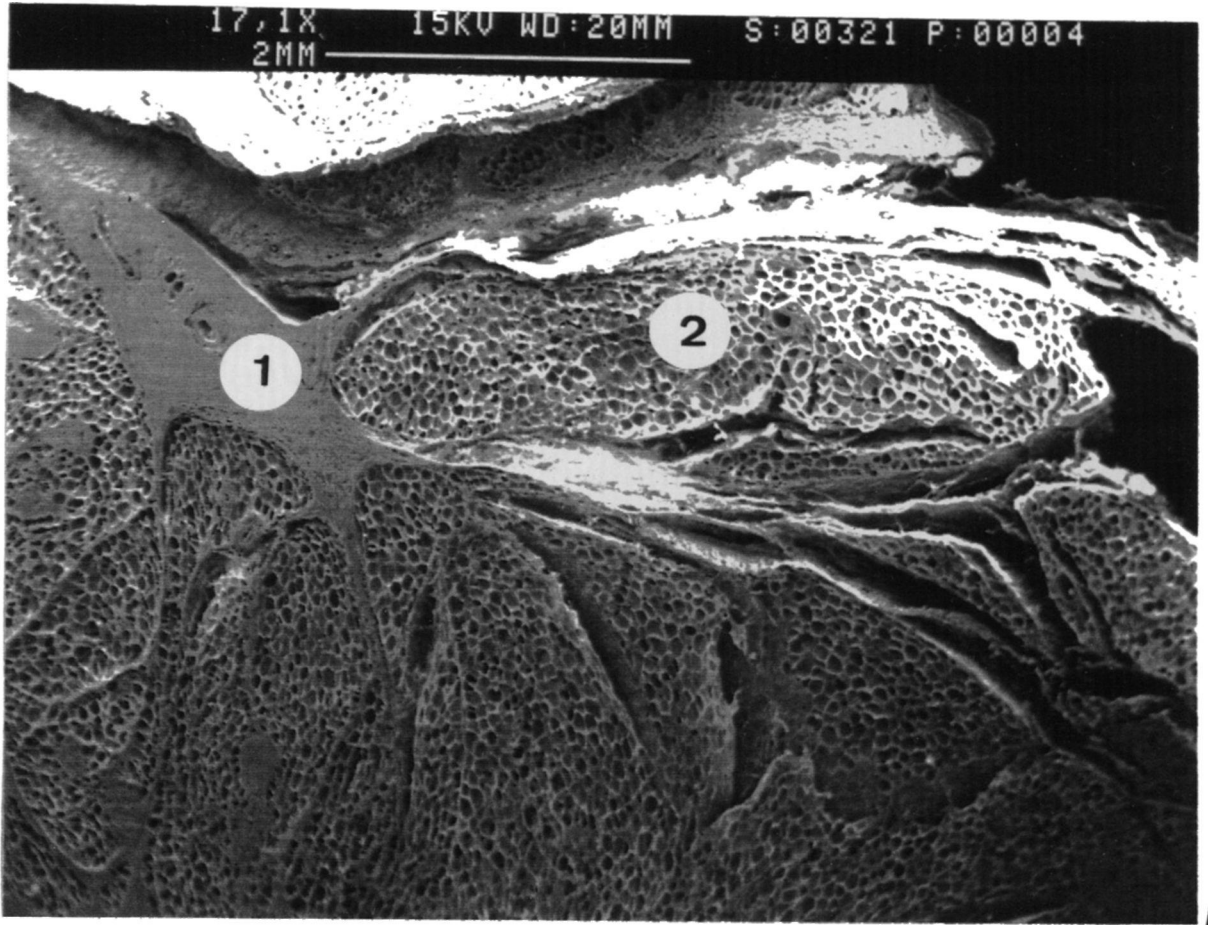


Fig. 79. Carcinoma escamoso bien diferenciado.

A/ (1) Eje conectivo. (2) Zona de hipervascularización con hipertrofia de la pared vascular. (3) Masa tumoral.

B/ Detalle a gran aumento de los vasos sanguíneos.

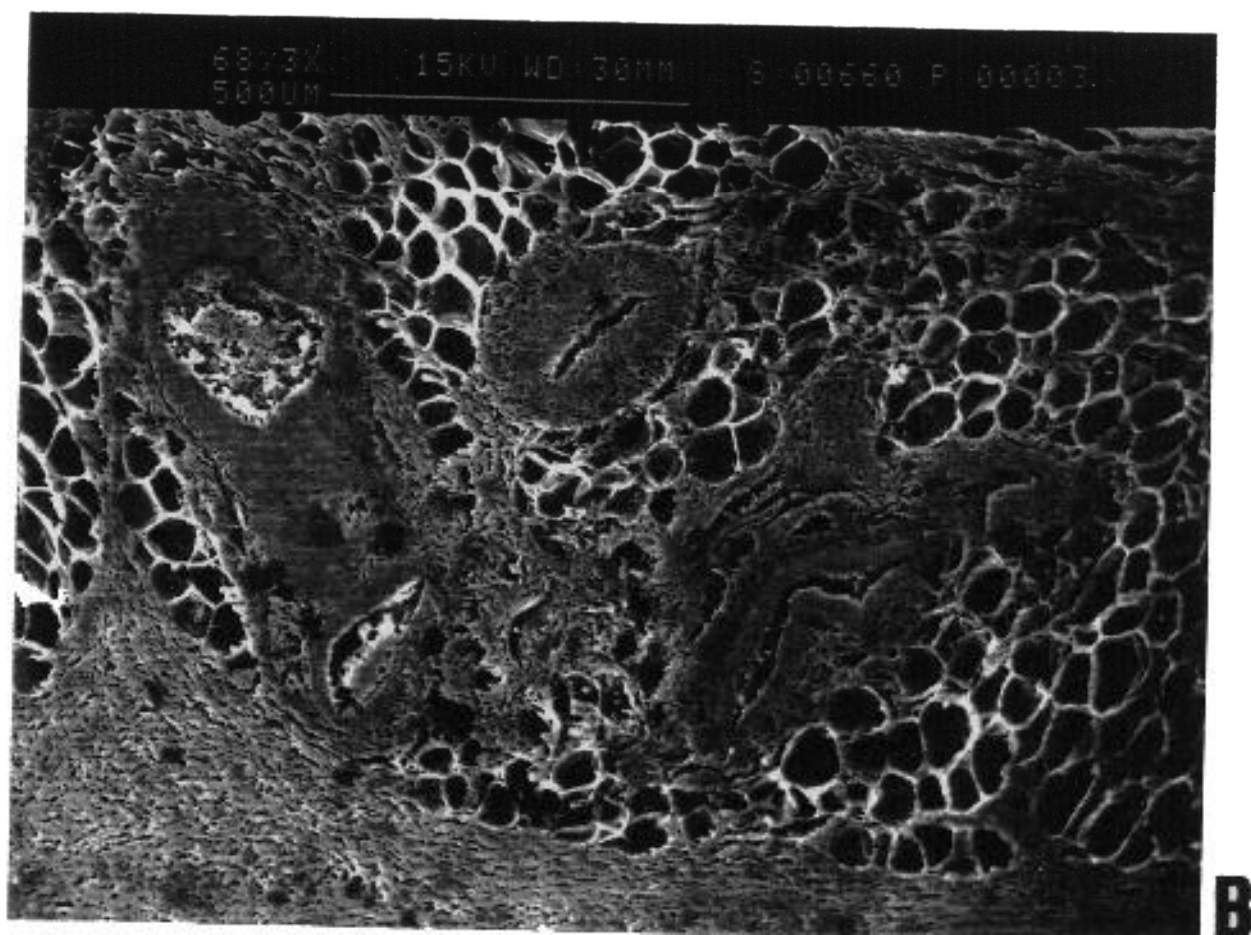
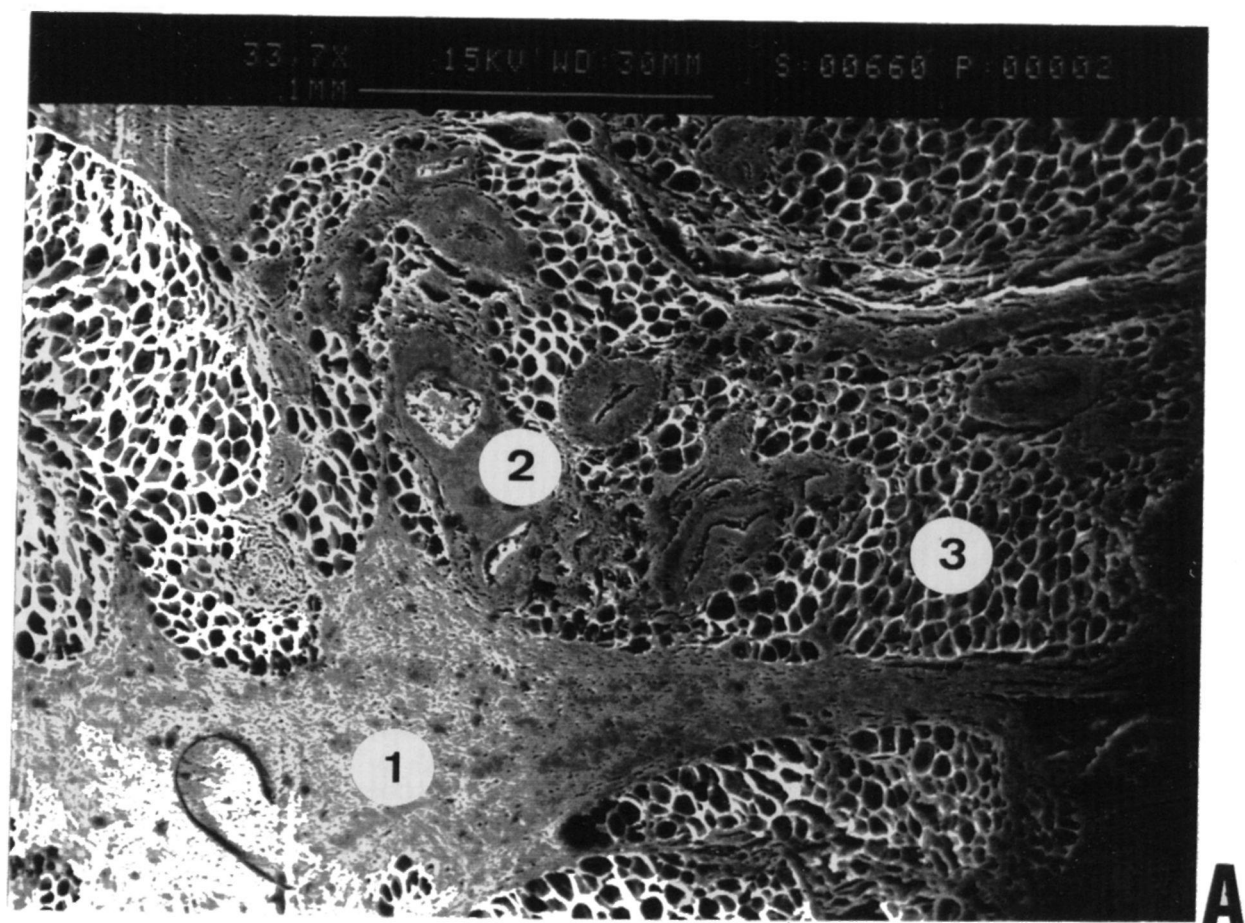
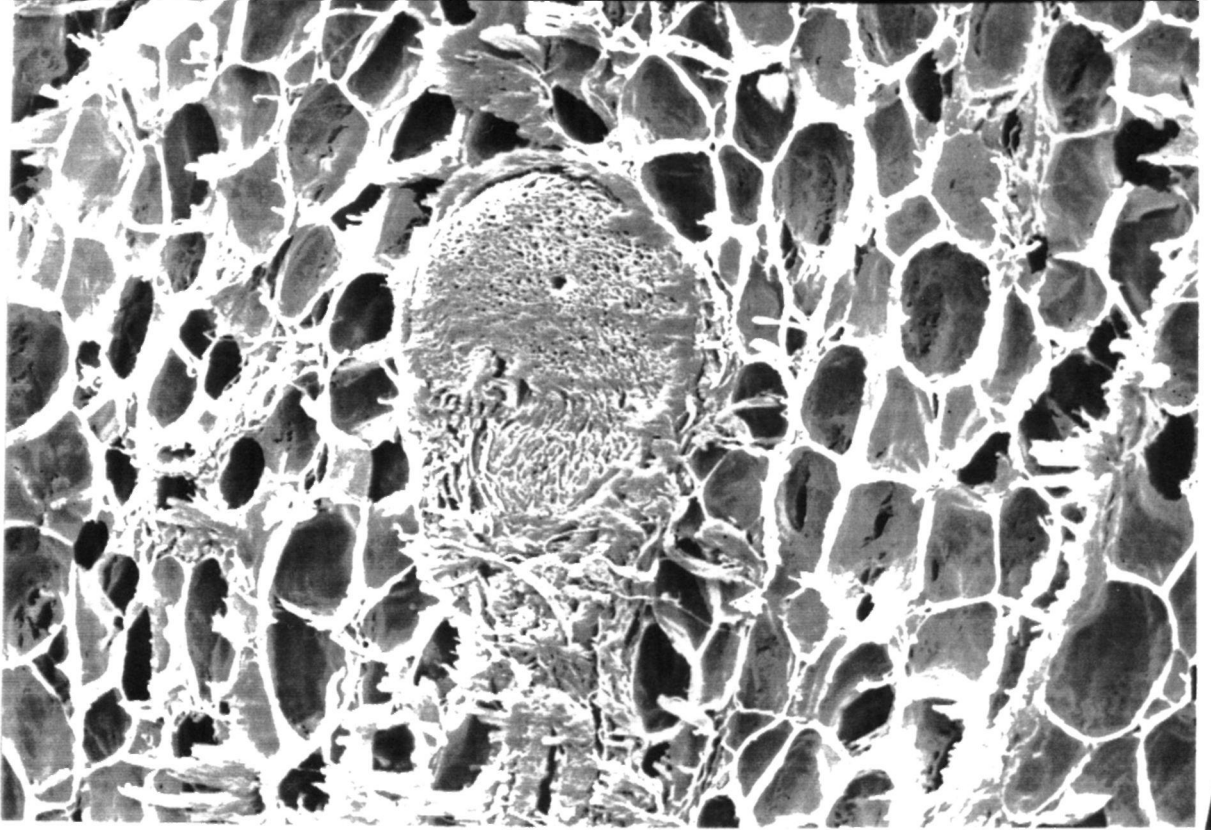


Fig.80. Carcinoma escamoso bien diferenciado.

A/ En la porción central se observa una agrupación de haces musculares en sección transversal.

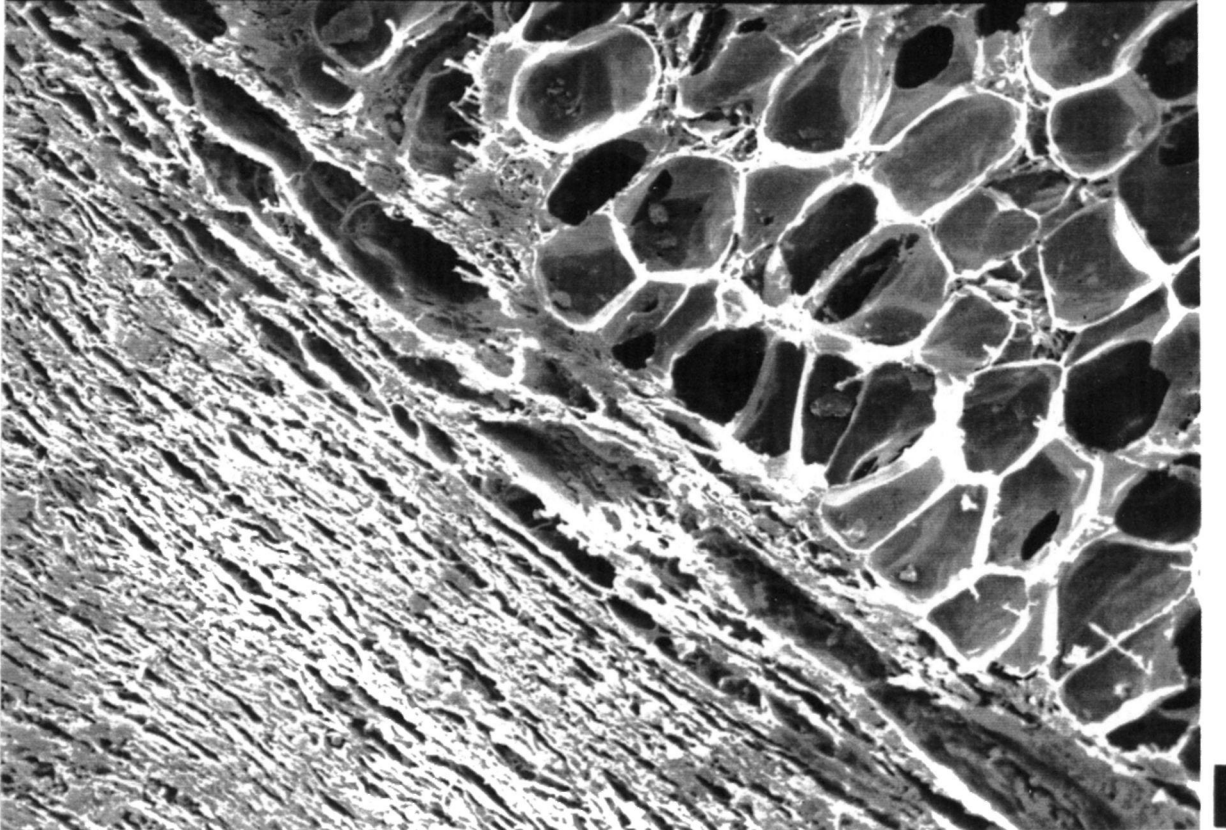
B/ Disposición del límite entre el tejido conjuntivo y el acúmulo de células escamosas.

130X 15KV WD:22MM S:00321 P:00006
200UM



A

155X 15KV WD:20MM S:00323 P:00008
200UM



B